

**SOLUTIONS SUGGÉRÉES
PAR LA TRANSFORMÉE
DE FOURIER**

$f \in L^1 \Rightarrow \mathcal{F}f(\xi) = \hat{f}(\xi) =$

$$\int_{\mathbb{R}^n} e^{-i x \cdot \xi} f(x) dx, \quad \xi \in \mathbb{R}^n.$$

3 propriétés fondamentales :

$$\overbrace{\partial_j f}(\xi) = i \xi_j \hat{f}(\xi)$$

$$\overbrace{x_j f}(\xi) = i \partial_j \hat{f}(\xi)$$

$$\overbrace{f * g}(\xi) = \hat{f} \hat{g}(\xi)$$

Equation de la chaleur

$$\begin{cases} Lu = u_t - \Delta_x u = 0 & \mathbb{R}^n \times \mathbb{R}_+ \\ u |_{t=0} = f \end{cases}$$

$$v(\xi, t) = \left(\mathcal{F}_x u(\cdot, t) \right)(\xi) =$$

$$\int_{\mathbb{R}^n} e^{-ix \cdot \xi} u(x, t) dx.$$

\mathbb{R}^n

" \Rightarrow "

$$\begin{cases} v_t(\xi, t) + |\xi|^2 v(\xi, t) = 0 \\ v(\xi, 0) = \hat{f}(\xi) \end{cases}$$

$$\Rightarrow v(\xi, t) = \hat{f}(\xi) e^{-t|\xi|^2} \stackrel{3}{\Rightarrow}$$

$$u(x, t) = \frac{1}{(4\pi t)^{n/2}} \int_{\mathbb{R}^n} f(y) e^{-\frac{|x-y|^2}{4t}} dy$$

$$K(x, y, t) := \frac{1}{(4\pi t)^{n/2}} e^{-\frac{|x-y|^2}{4t}}, t > 0$$

(noyau de la chaleur)

Educated guess:

$$(1) u(x, t) = \begin{cases} \int_{\mathbb{R}^n} K(x, y, t) f(y) dy, & t > 0 \\ f(x) & , t = 0 \end{cases}$$

Thm. Si $f \in L^p(\mathbb{R}^n)$ pour un $1 \leq p \leq \infty$,

alors $\lim_{t \rightarrow 0} u(\cdot, t) = f$ dans $L^p(\mathbb{R}^n)$.

b) Si $f \in L^p(\mathbb{R}^n)$, $1 \leq p < \infty \Rightarrow$

$\lim_{t \rightarrow 0} u(\cdot, t) = f$ dans $L^p(\mathbb{R}^n)$

c) Si $f \in C_b(\mathbb{R}^n)$, alors

$u \in C(\mathbb{R}^n \times [0, \infty))$ et

$\lim_{t \rightarrow 0} u(\cdot, t) = f$ uniformément

sur les compacts.

Etape 1. $L_u = 0$ ds $\mathbb{R}^n \times \mathbb{R}_+^*$.

a) $(\partial_t - \Delta_x) K(x, y, t) = 0 \quad \checkmark$

b) $L_u = L_{(x, t)} \left(\int K(x, y, t) f(y) dy \right)$
 $\equiv \int [L_{(x, t)} K(x, y, t)] f(y) dy = 0.$

On différentie sous le signe \int



Lemme.

$\forall L \subset \subset \mathbb{R}^n \times \mathbb{R}_+^* \rightarrow$

$\exists C, a > 0 \text{ tq}$

$$|D_{(x, t)}^{\frac{1}{2}} K(x, y, t)| \leq C e^{-aly^2}.$$

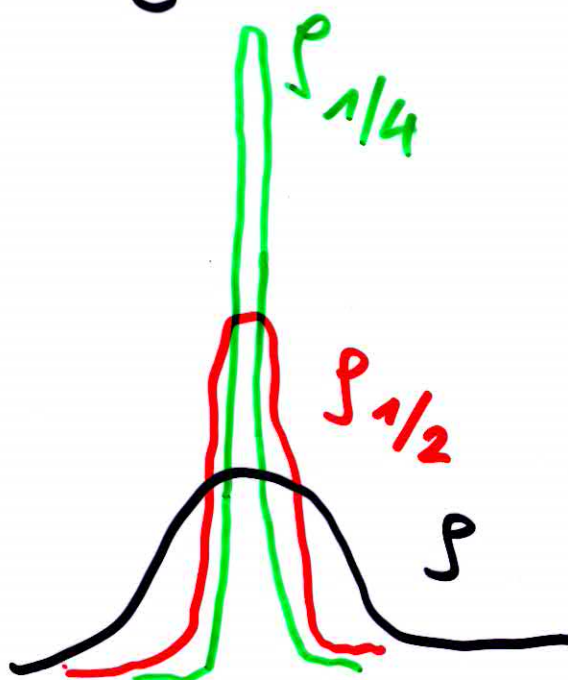
Digression: noyaux régulaires

$\rho \in L^1(\mathbb{R}^n)$, $\rho \geq 0$, $\int \rho = 1$

(Voir + si affinités:

$\rho \in C_c^\infty(\mathbb{R}^n)$, $\text{supp } \rho \subset B(0, 1)$)

$$\rho_\varepsilon(x) = \frac{1}{\varepsilon^n} \rho\left(\frac{x}{\varepsilon}\right)$$



Thm d'approximation

$$\lim_{\varepsilon \rightarrow 0} f_\varepsilon * f = f$$

- a) $f \in L^p(\mathbb{R}^n)$, $1 \leq p < \infty$, ds L^p
- b) $f \in L^\infty(\mathbb{R}^n)$, *-faible
- c) $f \in C_b(\mathbb{R}^n)$, UC
- d) $f \in C_b + \text{uniformément continue}$,
uniformément
 ↑
 càd ds L^∞

Etape 2. Etude de $u(\cdot, t)$, $t \downarrow 0$ 8

$$\rho(x) = \frac{1}{(4\pi)^{m/2}} e^{-\frac{|x|^2}{4}}$$

$$\Rightarrow u(x, t) = \rho * f(x) \sqrt{t}$$

\Rightarrow toutes les convergences de l'énoncé

Equation des ondes 1D

$$\left\{ \begin{array}{l} \square u = u_{tt} - u_{xx} = 0 \quad \text{ds } \mathbb{R}^2 \\ u|_{t=0} = f \quad \text{ds } \mathbb{R} \\ u_t|_{t=0} = g \quad \text{ds } \mathbb{R} \end{array} \right.$$

Transformée de Fourier en x :

$$v(\xi, t) = \int_{\mathbb{R}} e^{-ix\xi} u(x, t) dx \Rightarrow$$

$$\left\{ \begin{array}{l} v_{tt} + \xi^2 v = 0 \quad \text{ds } \mathbb{R}^2 \\ v(\xi, 0) = \hat{f}(\xi) \quad \text{ds } \mathbb{R} \\ v_t(\xi, 0) = \hat{g}(\xi) \quad \text{ds } \mathbb{R} \end{array} \right.$$

\Rightarrow

$$v(\xi, t) = C(\xi) \cos \xi t + D(\xi) \sin \xi t$$

$$\Rightarrow v(\xi, t) = \cos \xi t \hat{f}(\xi) + \frac{\sin \xi t}{\xi} \hat{g}(\xi)$$

Exo

$$\hat{f}(\cdot - \xi) = e^{-i h \cdot \xi} \hat{f}(\xi)$$

$$\Rightarrow \cos \xi t \hat{f}(\xi) = \frac{1}{2} [e^{i \xi t} + e^{-i \xi t}]$$

$$\hat{f}(\xi) = \frac{1}{2} [f(x+t) + f(x-t)] (\xi)$$

Exo

$$\frac{1}{2} \int_{[a,b]} (\xi) = \frac{e^{-ib\xi} - e^{-ia\xi}}{-i\xi}$$

$$\Rightarrow \frac{\sin \xi t}{\xi} = \frac{1}{2} \frac{e^{-i\xi t} - e^{i\xi t}}{-i\xi}$$

$$= \frac{1}{2} \underbrace{1}_{[-t, t]} (\xi)$$

Educated guess

$$u(x, t) = \frac{1}{2} [f(x+t) + f(x-t)]$$

$$(1) + \frac{1}{2} \int_{x-t}^{x+t} g(y) dy$$

Prop. (immédiate) Si $f \in C^2(\mathbb{R})$,
 $g \in C^1(\mathbb{R}) \implies (1)$ donne
la solution du pb.

Commentaires

- 1) Temps reversible dans \square
 (et dans Schrödinger), pas dans
 L . } Lien
- 2) Effet régularisant dans L :
 $u \in C^{\infty}$ si $t > 0$. Pas dans \square .
- Philosophie générale : régularisant \Rightarrow irréversible
- 3) L'équation des ondes se propage à vitesse finie :

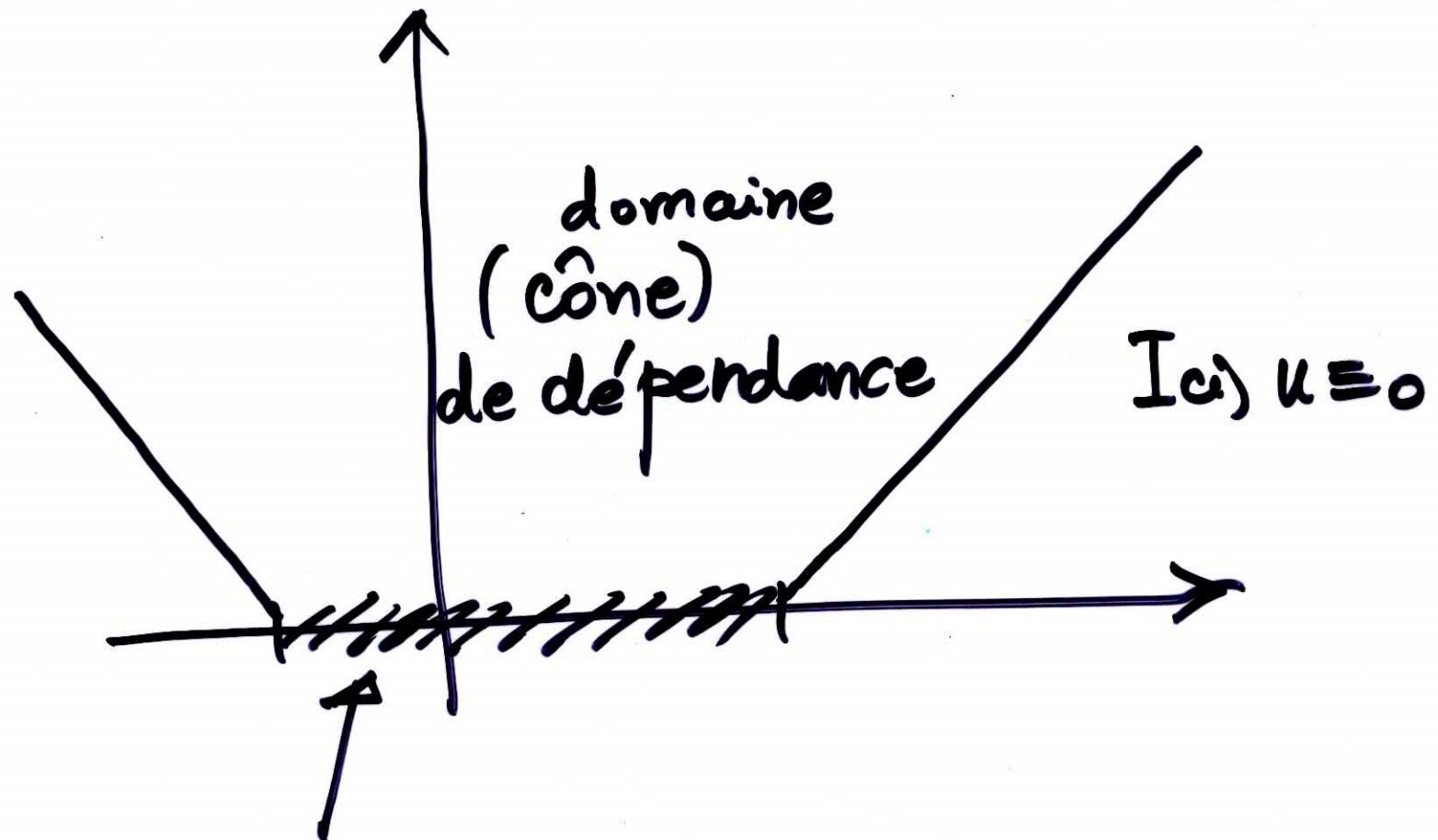


fig supportées ici

On le montrera en toute dimension.

EQUATION DE LAPLACE DANS UN DEMI-PLAN

$$\begin{cases} u_{tt} + u_{xx} = 0 & \text{ds } \mathbb{R} \times \mathbb{R}_+ \\ u(x,0) = f(x) & \text{ds } \mathbb{R} \end{cases}$$

" \Rightarrow " $\begin{cases} v_{tt} - \xi^2 v = 0 \\ v(\xi, 0) = \hat{f}(\xi) \end{cases}$

$$\Rightarrow v(\xi, t) = C(\xi) e^{-\xi t} + D(\xi) e^{\xi t}$$

" \Rightarrow " $v(\xi, t) = E(\xi) e^{-|\xi|t}$

\uparrow
 v est "petite"

$$\Rightarrow v(\xi, t) = e^{-|\xi|t} \hat{f}(\xi)$$

$$e^{-|\xi|t} = F(?)$$

Inversion de Fourier "⇒"

$$P(x, t) = \frac{1}{2\pi} \int_{\mathbb{R}} e^{ix\xi} e^{-|\xi|t} d\xi$$

$$= \frac{1}{\pi} \frac{t}{t^2 + x^2}.$$

Educated guess

$$(1) \quad u(x, t) = \begin{cases} \int_{\mathbb{R}} P(x-y, t) f(y) dy, & t > 0 \\ f(x), & t = 0 \end{cases}$$

P = noyau de Poisson

Raisonnement analogue en dimension ≥ 3 :

$$v(\xi, t) = e^{-\|\xi\|^2 t} \hat{f}(\xi) \stackrel{\text{"= >}}{=} u(x, t)$$

$$u(x, t) = \int_{\mathbb{R}^n} P(x-y, t) f(y) dy,$$

avec

$$P(x, t) = \frac{1}{(2\pi)^n} \int_{\mathbb{R}^n} e^{ix \cdot \xi} e^{-\|\xi\|^2 t} d\xi$$

↓ calcul en coordonnées sphériques généralisées

$$P(x, t) = \frac{\Gamma\left(\frac{n+1}{2}\right)}{\pi^{\frac{n+1}{2}}} \frac{t}{(t + |x|^2)^{\frac{n+1}{2}}}$$

(le cas précédent : $n=1$)

↑ Question en DM

$n \geq 1, 1 \leq p \leq \infty, f \in L^p(\mathbb{R}^n),$

$$u(x, t) = \begin{cases} \int \int_{\mathbb{R}^n} \varphi(x-y, t) f(y) dy, & t > 0 \\ f(x), & t = 0 \end{cases}$$

$$\varphi(x, t) = \frac{\Gamma\left(\frac{n+1}{2}\right)}{\pi^{\frac{n+1}{2}}} \frac{t}{(t^2 + |x|^2)^{\frac{n+1}{2}}}$$

Thm. Si $f \in L^p(\mathbb{R}^n)$, alors

a) $\Delta u = 0$ dans $\mathbb{R}^n \times \mathbb{R}_+^*$

b) $u \in C^\infty$ dans $\mathbb{R}^n \times \mathbb{R}_+^*$

c) $\lim_{t \rightarrow 0} u(\cdot, t) = f$ au sens

du Thm sur l'équation de la chaleur.

Preuve

Soit

$$P(x) = \frac{\Gamma\left(\frac{n+1}{2}\right)}{\pi^{\frac{n+1}{2}}} \frac{1}{(1+x^2)^{\frac{n+1}{2}}}$$

Le mme. $\int_{\mathbb{R}^n} P(x) dx = 1$

Preuve : En coordonées sphériques généralisées +
l'identité

$$\sigma_n = \frac{2\pi^{n/2}}{\Gamma\left(\frac{n}{2}\right)}$$

on est ramené à

$$\int_0^\infty \frac{r^{n-1}}{(1+r^2)^{\frac{n+1}{2}}} dr = \frac{\sqrt{\pi} \cdot \Gamma\left(\frac{n}{2}\right)}{2 \Gamma\left(\frac{n+1}{2}\right)}$$
□

Lemme \Rightarrow

$$u(x,t) = (P_t * f)(x).$$

On conclut comme dans le
thm sur L.



Equation de Schrödinger dans le demi-espace

$$\begin{cases} u_t - i \Delta u = 0 & \text{dans } \mathbb{R}^n \times \mathbb{R} \\ u|_{t=0} = f \end{cases}$$



temps reversible, comme
pour \square

$$\Rightarrow v(\xi, t) = e^{-it|\xi|^2} \tilde{f}(\xi)'''$$

$$u(x, t) = \int_{\mathbb{R}^n} P(x-y, t) f(y) dy, \text{ où}$$

$$\mathcal{F}_x P(\cdot, t)(\xi) = e^{-it|\xi|^2}.$$

$P(\cdot, t)$ n'est pas une fonction de L^1 !

$$|\mathcal{F}_x P(\cdot, t)(\xi)| = 1 \quad \cancel{\rightarrow 0}$$

$|\xi| \rightarrow \infty$

impossible si $P(\cdot, t) \in L^1$ (Riemann-Lebesgue)

\mathcal{F} au-delà de L^1 ?

Thm Plancherel

$$L^1 \cap L^2 \ni f \xrightarrow{T} \frac{1}{(2\pi)^{n/2}} \hat{f}$$

$$\in L^\infty \quad \boxed{\cap L^2}$$

T s'étend à un unitaire

$$L^2(\mathbb{R}^n) \rightarrow L^2(\mathbb{R}^n)$$

$$T^{-1} = T^*$$

Concrètement

$$L^1 \cap L^2 \xrightarrow[S]{f} L^2$$

$$L^1 \cap L^2 \xrightarrow[V]{f} L^2$$

$$f \mapsto \frac{1}{(2\pi)^n} \int e^{ix \cdot \xi} f(x) dx$$

$\Rightarrow S, V$ s'étendent à $L^2(\mathbb{R}^n)$ et
 $V = S^{-1}$

↑
Ne sert pas dans notre cas.

Ce qui sert : transformée de Fourier d'ans $\mathcal{F}, \mathcal{F}'$

↑ ↑
espace plus grand

que $C_c^\infty(\mathbb{R}^n)$

dual de \mathcal{F} =

espace des "distributions tempérées"

Approche ad hoc : approximer
le problème

$$u_t - i \Delta u = 0 \quad \rightsquigarrow u_t^\varepsilon - (i + \varepsilon) \Delta u^\varepsilon = 0 \quad t > 0$$

$$u_t^\varepsilon - (i - \varepsilon) \Delta u^\varepsilon = 0, \quad t < 0$$

Pour ex. $t > 0$:

$$\begin{cases} u_t^\varepsilon - (i + \varepsilon) \Delta u^\varepsilon = 0 \\ u|_{t=0} = f \end{cases} \Rightarrow$$

$$v^\varepsilon(\xi, t) = e^{-(i + \varepsilon)t |\xi|^2} \hat{f}(\xi)$$

" "

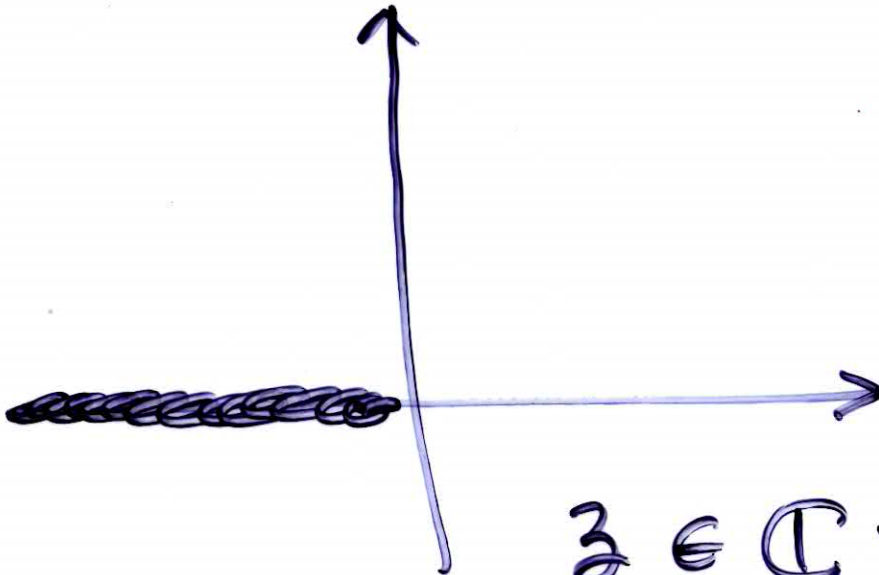
$$\Rightarrow u^\varepsilon(x, t) = \int P_\xi^\varepsilon(x - y, t) f(y) dy, \text{ où}$$

$$P_\xi^\varepsilon(x, t) = \frac{1}{\sqrt{4\pi(i + \varepsilon)t}} e^{-\frac{|x|^2}{4(i + \varepsilon)t}}$$

$$P_\xi^\varepsilon(x, t) = \frac{1}{\sqrt{4\pi(i + \varepsilon)t}} e^{-\frac{|x|^2}{4(i + \varepsilon)t}}$$

$$\underline{\int_x P_\xi^\varepsilon(\cdot, t)(\xi) = e^{-(i + \varepsilon)t |\xi|^2}}$$

$\sqrt{3} = \text{racine complexe principale}$



$z \in \mathbb{C} \setminus \mathbb{R}_-$

$$\boxed{\sqrt{z} = \sqrt{r} e^{i\frac{\theta}{2}}} \quad \begin{cases} z = r e^{i\theta}, r > 0 \\ \theta \in (-\pi, \pi) \end{cases}$$

fonction holomorphe

$\epsilon \rightarrow 0, t \neq 0 \rightsquigarrow$

$$u(x, t) = \begin{cases} \frac{1}{[\sqrt{\frac{4i\pi t}{4t}}]^n} \int_{\mathbb{R}^n} e^{\frac{i|x-y|^2}{4t}} f(y) dy, & t \neq 0 \\ f(x), & t = 0 \end{cases}$$

Prop $f \in C_c^\infty(\mathbb{R}^n) \Rightarrow$

a) u vérifie $i u_t + \Delta_x u = 0$ ds

$$\mathbb{R}^n \times \mathbb{R}^*$$

b) $\lim_{t \rightarrow 0} u(\cdot, t) = f$ dans $L^2(\mathbb{R}^n)$.

Première: a) ✓

b) Par ex. $t > 0$:

#1 $\mathcal{F}_x u^\varepsilon(\cdot, t)(\xi) = e^{-(i+\varepsilon)t|\xi|^2} \hat{f}(\xi)$

TCD $\Rightarrow \mathcal{F}_x u^\varepsilon(\cdot, t) \rightarrow g$ ds L^2

#2

$u^\varepsilon(x, t) \rightarrow u(x, t)$

$$\Rightarrow \begin{cases} u(\cdot, t) \in L^2 \\ \mathcal{F}_x u(\cdot, t)(\xi) = e^{-it|\xi|^2} \hat{f}(\xi) \end{cases}$$

$$\Rightarrow \|u(\cdot, t) - f\|_{L^2} = (2\pi)^{-m/2}$$

$$\|(e^{-it|\xi|^2} - 1) \hat{f}(\xi)\|_{L^2} \xrightarrow{TCD} 0 \quad \square$$

Résolvante du laplacien

$$\lambda u - \Delta u = f \quad \text{ds } \mathbb{R}^n$$



Transformée de
Laplace

$$\begin{cases} u_t - \Delta_x u = 0 \\ u|_{t=0} = f \end{cases}$$

Laplace: $\mathcal{L}f(\sigma) = \int_0^\infty e^{-\sigma t} f(t) dt$

Si $f: \mathbb{R}_+ \rightarrow \mathbb{C}$.

Comme \mathcal{F}, \mathcal{L} transforment
dérivées en multiplication

$$\left\{ \begin{array}{l} u_t - \Delta_x u = 0 \\ u|_{t=0} = f \end{array} \right. \quad | e^{-\lambda t} \int_0^{\infty}$$

$$u|_{t=0} = f$$

$$\Rightarrow \int_0^{\infty} e^{-\lambda t} u_t(x, t) dt - \int_0^{\infty} e^{-\lambda t} \Delta_x u(x, t) dt = 0$$

$$\Rightarrow \lambda v(x) - \Delta v(x) = f(x),$$

$$\text{ou } v(x) = \int_0^{\infty} e^{-\lambda t} u(x, t) dt.$$

Educated guess

$$(1) \quad u(x) = \int_0^{\infty} e^{-\lambda t} \int_{\mathbb{R}^n} \frac{1}{(4\pi t)^{n/2}} \times$$

$$e^{-\frac{|x-y|^2}{4t}} f(y) dy dt$$

Prop. $f \in C_c^\infty(\mathbb{R}^n) \Rightarrow$

$\mu \in C^\infty(\mathbb{R}^n)$ vérifie le pb.

Preuve: $K(x) := \int_0^\infty e^{-\lambda t} \frac{1}{(4\pi t)^{n/2}} e^{-\frac{|x|^2}{4t}} dt$

Tonnelli : K mesurable

$$K \in L^1$$

Fubini + \mathcal{F} gaussiennes \Rightarrow

$$\hat{K}(\xi) = \frac{1}{1+|\xi|^2}.$$

Rq: $f \in L^1_{loc} \Rightarrow f * \varphi \in C^\infty$

$$\varphi \in C_c^\infty$$

$$\text{et } \partial^\alpha (f * \varphi) = f * \partial^\alpha \varphi.$$

31

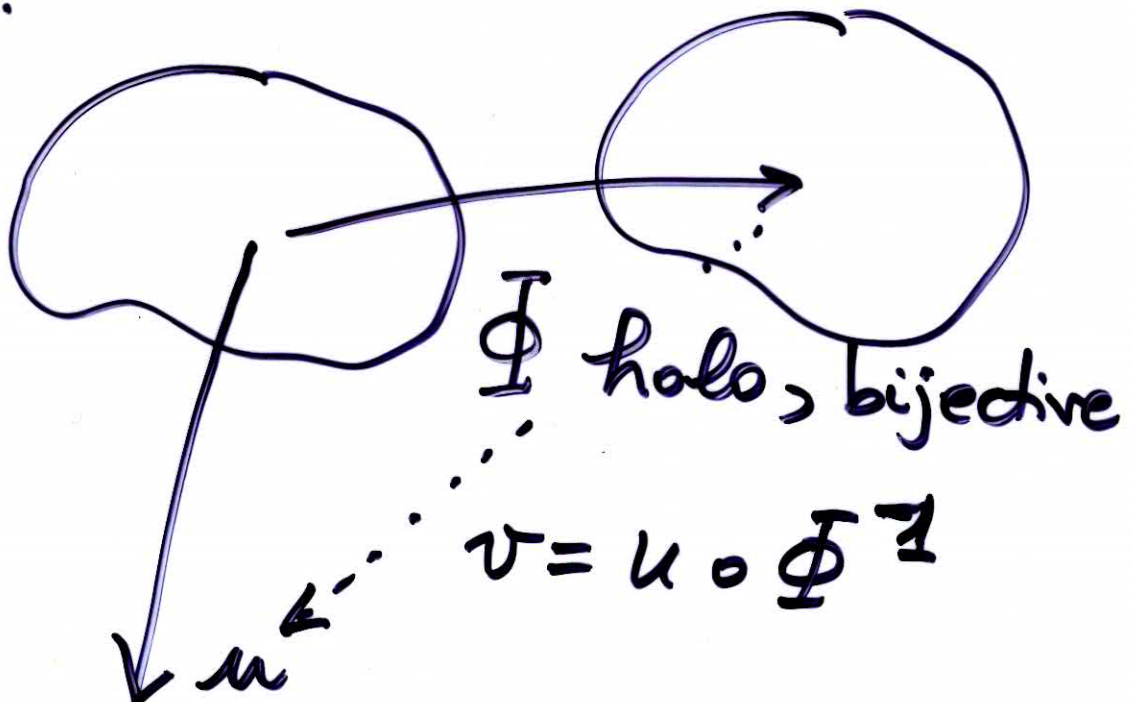
$$\begin{aligned}
 \overbrace{\lambda w - \Delta w} &= \overbrace{K * (\lambda f - \Delta f)} \\
 = K &\quad \overbrace{\lambda f - \Delta f} = \widehat{K} (\lambda + \beta)^2 \widehat{f} \\
 = \widehat{f} &\quad \Rightarrow \lambda w - \Delta w = \widehat{f} \\
 &\quad \uparrow \\
 &\quad \text{\widehat{f} injective sur \mathbb{L}^1}
 \end{aligned}$$

Equation de Laplace dans une boule

Digression:

représentation conforme

Plan:



$$\Delta u = 0 \iff \Delta v = 0$$

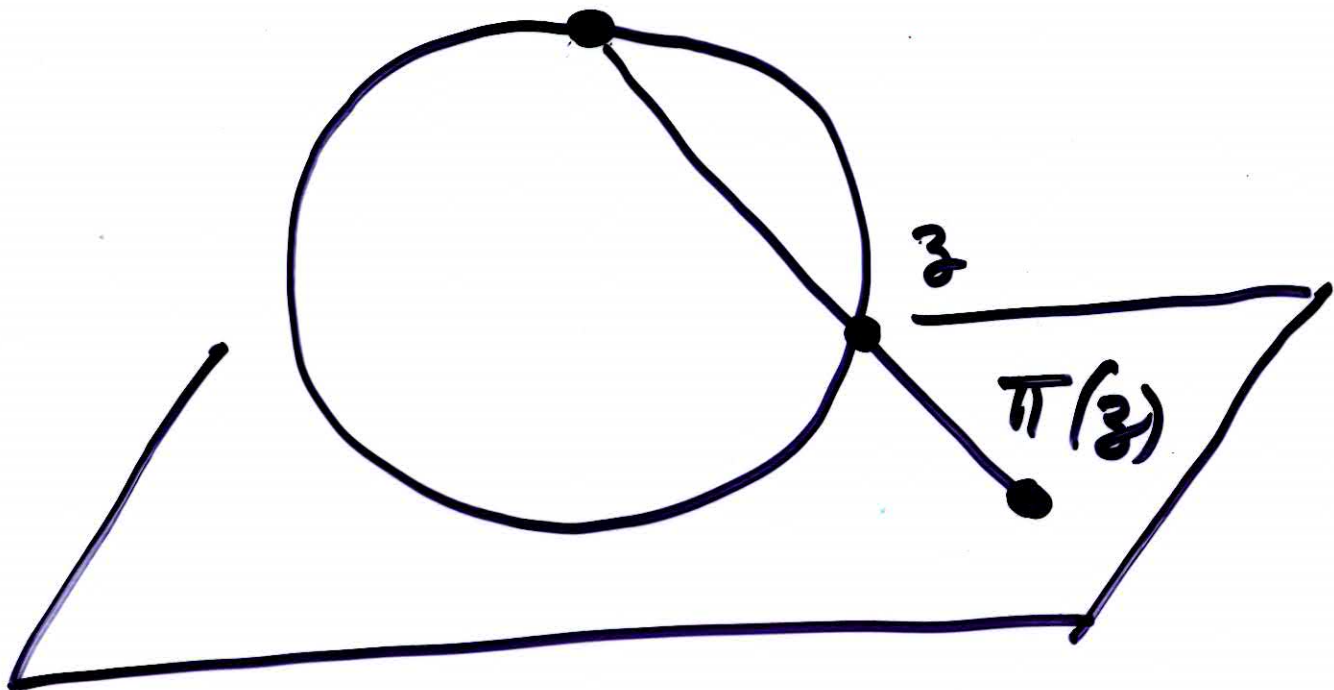
(avatar du fait que la
composée de deux f^m holomorphes est holomorphe)

$n \geq 3$? Très peu de représentations conformes

Frm Liouville Il n'y a que

- homothéties
- translations
- inversions

Cas particuliers projection
stéréographique sur le bord.



$\pi : \begin{cases} \text{sphère} & \rightarrow \text{plan} \\ \text{boule} & \rightarrow \text{demi-espace} \end{cases}$

Educated guess

$$u(x) = \begin{cases} \frac{R^2 - |x - x_0|^2}{\sigma_n R} \int_{S(x_0, R)} \frac{f(y)}{|x - y|^n} d\sigma(y), & x \in B(x_0, R) \\ f(x), & x \in S(x_0, R) \end{cases}$$

Vérifie

$$\left\{ \begin{array}{l} \Delta u = 0 \quad \text{ds } B(x_0, R) \\ u = f \quad \text{sur } S(x_0, R) \end{array} \right.$$

Thm (Poisson)

Si $f \in C(S(x_0, R))$

$$\Rightarrow u \in C^2(B(x_0, R)) \cap C(S(x_0, R))$$

Solution du pb.

$$\text{ops } x_0 = 0$$

Preuve: $u \in C^\infty, \Delta u = 0 \checkmark$

$$P(x, y) = \frac{R^2 - |x|^2}{\sigma_n R |x-y|^n}$$

$$S(x) = \int_{S(0, R)} P(x, y) d\sigma(y)$$

Etape 1. $S \equiv 1$

Preuve: • $S(Ax) = S(x)$,
 $\forall A \in O(n)$

- $S(x) = f(|x|)$, où
 $f(r) = S(r, 0, \dots, 0) \in C^\infty$
- $\Delta S = f''(|x|) + \frac{n-1}{|x|} f'(|x|)$
- $\Rightarrow f''(r) + \frac{n-1}{r} f'(r) = 0, r > 0$
 $\Rightarrow (r^{n-1} f')' = 0 \Rightarrow r^{n-1} f' = 0$
 $\Rightarrow f = \text{cste} \Rightarrow S(x) = S(0) = 1.$

□

Etape 2. $x \in B(0, R)$, $z \in S(0, r)$,

$$\lim_{x \rightarrow z} \int_{|y-z| > \delta} P(x, y) d\sigma(y) = 0,$$

$\forall \delta > 0$

□

Etape 3 : $\lim_{x \rightarrow z} u(x) = f(z)$:

Technique de découpage:

$$\int \dots \text{ et } \int \dots$$

$|y-z| > \delta$

$|y-z| \leq \delta$

□